

# Fatores de forma em modelos inspirados na Cromodinâmica Quântica\*

Mateus Broilo da Rocha

Universidade Federal do Rio Grande do Sul

Defesa de mestrado realizado  
sob orientação do Prof. Dr. Emerson Gustavo de Souza Luna

# Conteúdo

- ▶ Introdução
  - ⇒ Cinemática
  - ⇒ Formalismo
  - ⇒ Dados experimentais
- ▶ Cromodinâmica quântica
  - ⇒ Constante de acoplamento
  - ⇒ Espalhamento inelástico profundo – DIS
  - ⇒ Modelo a pártons
- ▶ Modelo inspirado em QCD
  - ⇒ Modelo de massa dinâmica
  - ⇒ Modelo atual
  - ⇒ Resultados
- ▶ Conclusão

# Introdução

- ▶ Colisões dão origem à espalhamentos

$$1 + 2 \rightarrow 3 + 4 + 5 + \dots$$

- ▶ Espalhamento elástico: todos os números quânticos são conservados durante a colisão

$$1 + 2 \rightarrow 1' + 2'$$

- ▶ Apesar de representar o processo cinemático mais simples, sua descrição teórica é extremamente difícil

# Cinemática

- ▶ Grandezas físicas que sejam invariantes de Lorentz: Invariantes de Mandelstam
- ▶ Espalhamento exclusivo

$$1 + 2 \rightarrow 3 + 4 \text{ (canal-s)}$$

é descrito pelos Invariantes de Mandelstam

$$s = (P_1 + P_2)^2 = (P_3 + P_4)^2$$

$$t = (P_1 - P_3)^2 = (P_2 - P_4)^2$$

$$u = (P_1 - P_4)^2 = (P_2 - P_3)^2$$

sendo respeitado a seguinte identidade

$$s + t + u = \sum_{i=1}^4 m_i^2$$

# Cinemática

$$1 + \bar{3} \rightarrow \bar{2} + 4 \text{ (canal-}t\text{)}$$

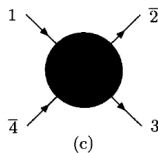
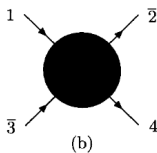
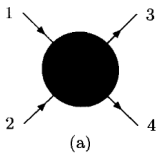
- Pela simetria de cruzamento

$$F_{1+2 \rightarrow 3+4}(s, t, u) = F_{1+\bar{3} \rightarrow \bar{2}+4}(t, s, u)$$

- Espalhamentos elásticos  $pp$  e  $\bar{p}p$

$$\text{canal } s : p + p \rightarrow p + p$$

$$\text{canal } t : \bar{p} + p \rightarrow \bar{p} + p$$



# Formalismo

- ▶ Aproximação em ondas parciais

$$f(\mathbf{k}, \mathbf{k}') = f(k, \theta) = \sum_{l=0}^{\infty} (2l+1) a_l(k) P_l(\cos \theta)$$

- ▶ No limite de altas energias ( $f=kF$ )

$$F(s, t) = i \int_0^{\infty} db \, b \, J_0(b\sqrt{-t}) \underbrace{\left[ 1 - e^{i\chi(s, b)} \right]}_{\equiv \Gamma(s, b)}$$

- ▶ Reescrevendo a função de perfil

$$\Gamma(s, b) = \text{Re} \Gamma(s, b) + i \text{Im} \Gamma(s, b)$$

$$2\text{Re} \Gamma(s, b) = |\Gamma(s, b)|^2 + (1 - e^{-2\chi_I})$$

# Formalismo

- ▶ Seções de choque de espalhamento na representação de parâmetro de impacto

$$\begin{aligned}\sigma_{in} &= 2\pi \int_0^{\infty} db \, b \left[ 2 \operatorname{Re} \Gamma(s, b) - |\Gamma(s, b)|^2 \right] \\ &= 2\pi \int_0^{\infty} db \, b \left[ 1 - e^{-2\chi_I} \right]\end{aligned}$$

$$\begin{aligned}\sigma_{tot} &= 2\pi \int_0^{\infty} db \, b \, 2 \operatorname{Re} \Gamma(s, b) \\ &= 4\pi \int_0^{\infty} db \, b \left[ 1 - e^{-\chi_I} \cos \chi_R \right] = \sigma_{el} + \sigma_{in}\end{aligned}$$

- ▶ Parâmetro  $\rho$

$$\rho = \frac{\operatorname{Re} \left\{ i \int_0^{\infty} db \, b \left[ 1 - e^{i\chi(s,b)} \right] \right\}}{\operatorname{Im} \left\{ i \int_0^{\infty} db \, b \left[ 1 - e^{i\chi(s,b)} \right] \right\}}$$

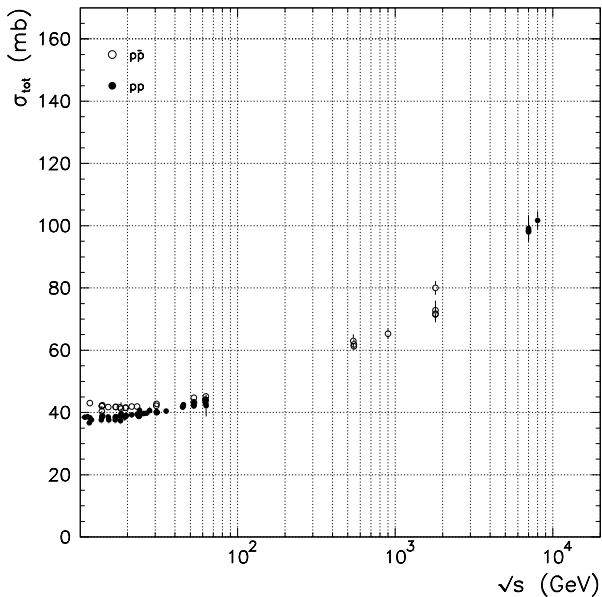
## Dados experimentais

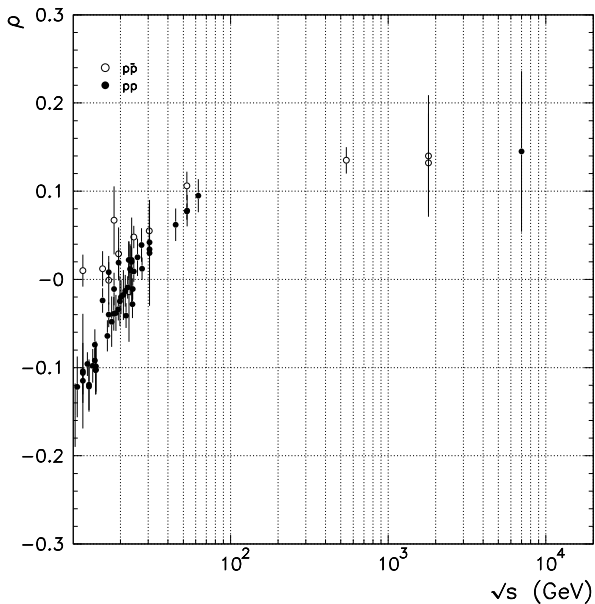
- ▶ Espalhamento  $pp$ : ISR (até  $\sqrt{s} = 62.8$  GeV); RHIC (até  $\sqrt{s} = 500$  GeV); recentes dados do experimento TOTEM ( $\sqrt{s} = 7 - 8$  TeV)

Colaboração	Referência	$\sqrt{s}$ (TeV)	$\sigma_{tot}$ (mb)
TOTEM	[1]	7	$98.30 \pm 2.80$
	[2]	7	$98.58 \pm 2.23$
	[3]	7	$99.10 \pm 4.30$
	[3]	7	$98.00 \pm 2.50$
	[4]	8	$101.70 \pm 2.90$

- ▶ Espalhamento  $\bar{p}p$ : Tevatron (até  $\sqrt{s} = 1.8$  TeV)







# Cromodinâmica quântica

- ▶ É a teoria de calibre que descreve a interação forte entre os párons
- ▶ A lagrangeana

$$\mathcal{L}_{QCD} = \mathcal{L}_{cl} + \mathcal{L}_{fc} + \mathcal{L}_{ft}$$

$$\mathcal{L}_{cl}(x) = -\frac{1}{4}F_{\mu\nu}^A(x)F_A^{\mu\nu}(x) + \sum_q \bar{\psi}_q^r(x)(i\gamma^\mu D_\mu - m)_{rs}\psi_q^s(x)$$

onde

$$F_{\mu\nu}^A(x) = \partial_\mu G_\nu^A(x) - \partial_\nu G_\mu^A(x) - g_s f^{ABC} G_\mu^B G_\nu^C$$

# Constante de acoplamento

- ▶  $g_s$  determina a magnitude da interação entre os campos de cor
- ▶ Existem processos que contribuem para o surgimento de divergências na teoria
- ▶ Reescalar o campo  $\rightarrow$  as divergências são absorvidas em redefinições das quantidades físicas (**renormalização**)
- ▶ Quantidades renormalizadas (como  $g_s$ ) passam a depender explicitamente de uma escala de renormalização  $\mu$

$$\alpha_s \equiv \alpha_s(\mu^2) = \frac{g_s^2}{4\pi}$$

## Constante de acoplamento

- Equação do grupo de renormalização

$$\left(-\frac{\partial}{\partial\tau} + \beta(\alpha_s) \frac{\partial}{\partial\alpha_s}\right) \mathcal{R}(e^\tau, \alpha_s) = 0$$

onde

$$\tau \equiv \log\left(\frac{Q^2}{\mu^2}\right), \quad \beta(\alpha_s) \equiv \mu^2 \frac{\partial\alpha_s}{\partial\mu^2} = \frac{\partial\alpha_s}{\partial\log\mu^2}$$

- $\mathcal{R}(e^\tau, \alpha_s) = \mathcal{R}(1, \alpha_s(\tau)) = \alpha_s(\tau)$  é solução com a condição de contorno  $\alpha_s(\tau=0) = \alpha_s(\mu^2) = \alpha_s$

$$\tau = \int_{\alpha_s(0)}^{\alpha_s(\tau^2)} \frac{d\alpha'}{\beta(\alpha')} \quad , \quad \frac{d\alpha_s(\tau)}{d\tau} = \beta(\alpha_s(\tau)) \quad , \quad \frac{d\alpha_s(\tau)}{d\alpha_s} = \frac{\beta(\alpha_s(\tau))}{\beta(\alpha_s)}$$

- toda a dependência de escala está contida em  $\alpha_s$

## Constante de acoplamento

- Conhecimento da função  $\beta(\alpha_s)$

$$\frac{d\alpha_s(\tau)}{d\tau} = \beta(\alpha_s(\tau)) = Q^2 \frac{d\alpha_s(Q^2)}{dQ^2} = -b_0\alpha_s^2(Q^2) \left( 1 + \frac{b_1}{b_0}\alpha_s(Q^2) + \frac{b_2}{b_0}\alpha_s^2(Q^2) + \dots \right)$$

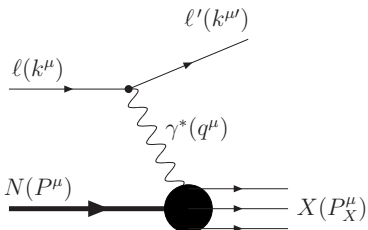
- Usualmente é usados os termos em LO e NLO  $\rightarrow$  expansão é truncada (somente  $b_0$  e  $b_1$  são considerados)
- ...

$$\alpha_s^{LO}(Q^2) = \frac{4\pi}{\beta_0 \log\left(\frac{Q^2}{\Lambda^2}\right)}$$

$$\alpha_s^{NLO}(Q^2) = \frac{4\pi}{\beta_0 \log\left(\frac{Q^2}{\Lambda^2}\right)} \left[ 1 - \frac{\beta_1}{\beta_0^2} \frac{\log \log\left(\frac{Q^2}{\Lambda^2}\right)}{\log\left(\frac{Q^2}{\Lambda^2}\right)} \right]$$

- $\beta_0 = b_0/4\pi$  e  $\beta_1 = b_1/16\pi^2$

# Espalhamento inelástico profundo – DIS



## Variáveis cinemáticas

- ▶ Quadrado da energia total do sistema  $\gamma^* N$

$$W^2 = (P + q)^2 \geq m_p^2$$

- ▶ Virtualidade do fóton

$$Q^2 \equiv -q^2 = (k - k')^2 > 0$$

- ▶ Fração de momentum do párton provado  $0 \leq x \leq 1$

$$x = \frac{Q^2}{2p \cdot q} = \frac{Q^2}{2m_p \nu} \Big|_{\nu=E-E'} = \frac{Q^2}{Q^2 + W^2 - m_p^2}$$

- ▶ Inelasticidade  $0 \leq y \leq 1$

$$y = \frac{\nu}{E} = \frac{p \cdot q}{p \cdot k} = \frac{W^2 + Q^2 - m_p^2}{s - m_p^2}$$

- ▶ Limite de altas energias

$$\lim_{W \rightarrow \infty} x = \lim_{W \rightarrow \infty} \frac{Q^2}{Q^2 + W^2 - m_p^2} = 0$$

## Seção de Choque Inclusiva no Processo $ep \rightarrow eX$

- ▶ No referencial de repouso do próton

$$\frac{d^2\sigma}{dE'd\Omega} = \frac{\alpha_{\text{em}}^2}{2MQ^4E} L^{\mu\nu} W_{\mu\nu}$$

- $\alpha_{\text{em}}$  é o parâmetro de acoplamento eletromagnético;  $\Omega(\theta, \phi)$  é o ângulo sólido de espalhamento;  $L^{\mu\nu}$  é o tensor de vértice leptônico e  $W_{\mu\nu}$  é o tensor de vértice hadrônico

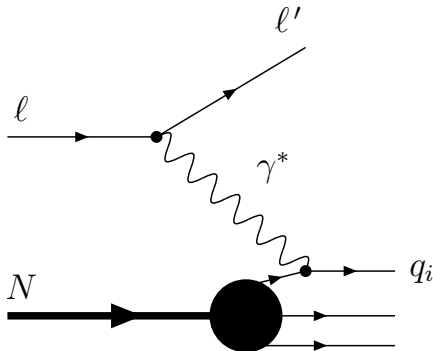
$$\frac{d^2\sigma}{dE'd\Omega} = \frac{4\alpha_{\text{em}}^2 E'^2}{Q^4} \left[ 2W_1(\nu, Q^2) \sin^2 \frac{\theta}{2} + W_2(\nu, Q^2) \cos^2 \frac{\theta}{2} \right]$$

- o qual  $W_1(\nu, Q^2)$  e  $W_2(\nu, Q^2)$  são chamadas de *funções de estrutura*.
- ▶ Ainda para  $F_1(x, Q^2) \equiv m_p W_1(\nu, Q^2)$  e  $F_2(x, Q^2) \equiv \nu W_2(\nu, Q^2)$

$$\frac{d^2\sigma}{dx dy} = \frac{4\pi\alpha_{\text{em}}^2 s}{Q^4} \left[ xy^2 F_1(x, Q^2) + \left( 1 - y - \frac{xy m_p^2}{s} \right) F_2(x, Q^2) \right]$$



# Modelo a pártons



## Escalamento (scaling) de Bjorken

- ▶  $x \rightarrow 0$  a razão  $\nu/Q^2$  mantém-se finita
- ▶  $W_1(\nu, Q^2)$  e  $W_2(\nu, Q^2)$  dependem apenas da variável adimensional  $x$
- ▶ Pártons tratados como partículas pontuais

$$\lim_{Q \rightarrow \infty} MW_1(\nu, Q^2) = F_1(x)$$

$$\lim_{Q \rightarrow \infty} \nu W_2(\nu, Q^2) = F_2(x)$$

⇒ Este comportamento é chamado de escalamento das funções de estrutura, e foi de fato verificado no DIS *ep* no *Stanford Linear Accelerator (SLAC)*

# Modelo a pártons

- ▶ Quark está essencialmente livre durante a interação

$$\frac{d^2\sigma}{dx dy} = \sum_q \int_0^1 d\xi f_q(\xi) \left( \frac{d^2\sigma}{dx dy} \right)_{eq}$$

- $f_q(\xi)$  são as funções de distribuição dos quarks, tal que  $d\xi f_q(\xi)$  seja a probabilidade de encontrar um quark de sabor  $q$  carregando uma fração do momentum do próton
- ▶ Seção de choque diferencial para o espalhamento do quark

$$\frac{d^2\sigma}{dx dy} = \sum_q \int_0^1 d\xi f_q(\xi) \frac{2\pi\alpha_{em}^2 e_q^2 s}{Q^4} [1 + (1-y)^2] \delta(x - \xi)$$

- ▶ Previsão do modelo a pártons para as funções de estrutura

$$F_2(x) = 2xF_1(x) = x \sum_q e_q^2 \int_0^1 d\xi f_q(\xi) \delta(x - \xi) = \sum_q e_q^2 x f_q(x)$$

- o qual  $e_q$  corresponde à carga elétrica do quark
- ▶ Relação de Callan-Gross

# Modelo a pártons

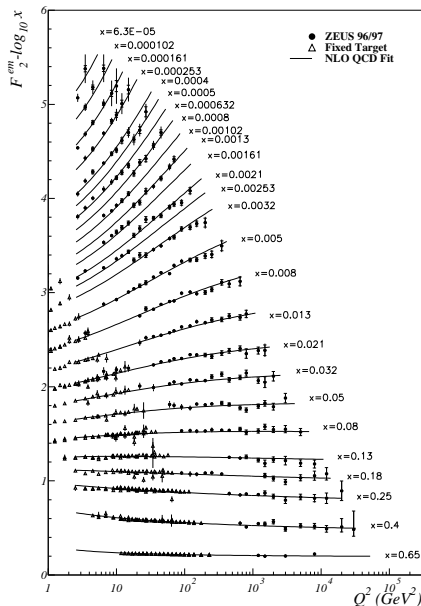
## Modelo a pártons da QCD

- ▶ A contribuição dos vértices de emissão de glúons à função de estrutura  $F_2(x, Q^2)$  levam a divergências

$$F_2(x, Q^2) = \sum_q e_q^2 x \int_x^1 \frac{d\xi}{\xi} f_q(\xi) \left\{ \delta\left(1 - \frac{x}{\xi}\right) + \frac{\alpha_s}{2\pi} \left[ P_{qq}\left(\frac{x}{\xi}\right) \log\left(\frac{Q^2}{\kappa^2}\right) + h\left(\frac{x}{\xi}\right) \right] + \dots \right\}$$

- $P_{qq}$  são as funções de desdobramento (splitting)
- ▶ O termo de ordem zero ( $\xi = x$ ) refere-se ao modelo a pártons original

## ZEUS



# Modelo a pártons

## *Função de distribuição*

- Equação de evolução DGLAP

$$\frac{\partial \mathcal{U}(x, Q^2)}{\partial \log Q^2} = \frac{\alpha_s}{2\pi} \int_x^1 \frac{d\xi}{\xi} \mathcal{P}\left(\frac{x}{\xi}, Q^2\right) \mathcal{U}(\xi, Q^2)$$

- Efeito da contribuição dos glúons

$$\frac{\partial f_q(x, Q^2)}{\partial \log Q^2} = \frac{\alpha_s}{2\pi} \int_x^1 \frac{d\xi}{\xi} \left[ f_q(\xi, Q^2) P_{qq}\left(\frac{x}{\xi}\right) + 2N_f f_g(\xi, Q^2) P_{qg}\left(\frac{x}{\xi}\right) \right] + \mathcal{O}(\alpha_s^2)$$

$$\frac{\partial f_g(x, Q^2)}{\partial \log Q^2} = \frac{\alpha_s}{2\pi} \int_x^1 \frac{d\xi}{\xi} \left[ f_q(\xi, Q^2) P_{gq}\left(\frac{x}{\xi}\right) + f_g(\xi, Q^2) P_{gg}\left(\frac{x}{\xi}\right) \right] + \mathcal{O}(\alpha_s^2)$$

# Modelo a pártons

## Função de distribuição

- ▶ Para uma colisão hadrônica genérica  $A + B \rightarrow C + D$

$$\sigma_{AB \rightarrow CD} = \sum_{a,b} \int_{x_a}^1 d\xi_a \int_{x_b}^1 d\xi_b f_A^a(\xi_a, \mu)(\xi_a p_A, \xi_b p_B, \mu, \alpha_s) f_B^b(\xi_b, \mu)$$

- ▶ Existem diversas colaborações dedicadas a determinar o comportamento das funções de distribuição
- ▶ Neste trabalho utilizamos as distribuições **CTEQ6** e **MSTW2008**

$$\text{CTEQ6} \Rightarrow x f(x, Q_0) = A_0 x^{A_1} (1-x)^{A_2} e^{A_3 x} (1 + e^{A_4 x})^{A_5}$$

$$\text{MSTW} \Rightarrow x f_i(x, Q_0^2) = A_i x^{-\lambda_i} (1-x)^{\eta_i} (1 + \epsilon_i \sqrt{x} + \gamma_i x)$$

# Modelo inspirado em QCD

- ▶ Descrevem alguns processos de natureza hadrônica ligada à região de transição entre os regimes perturbativos e não perturbativos
- ▶ Amplitude de espalhamento é escrita via o formalismo eiconal

$$\chi(s, b) = \chi_{\text{soft}}(s, b) + \chi_{\text{SH}}(s, b)$$

$$\chi(s, b) = \text{Re } \chi(s, b) + i \text{Im } \chi(s, b) = \chi_R + i \chi_I$$

$$\chi_{pp}^{\bar{p}p}(s, b) = \chi^+(s, b) \pm \chi^-(s, b)$$

- ▶ Crescimento da seção de choque em altas energias  $\rightarrow$  principalmente glúons

## Modelo com massa dinâmica de glúons

- Congelamento da constante de acoplamento da QCD em baixas energias sugere descrição de efeitos não perturbativos
- Conexão com uma massa dinâmica para os glúons
- Contribuição da massa dinâmica tende a zero para grandes momenta

$$\bar{\alpha}_s = \bar{\alpha}_s(Q^2) = \frac{4\pi}{\beta_0 \log [(Q^2 + 4M_g^2(Q^2))/\Lambda^2]}$$

$$M_g^2 = M_g^2(Q^2) = m_g^2 \left[ \frac{\log \left( \frac{Q^2 + 4m_g^2}{\Lambda^2} \right)}{\log \left( \frac{4m_g^2}{\Lambda^2} \right)} \right]^{-12/11}$$

- $m_g = 500 \pm 200$  MeV
- Regime perturbativo é recuperado

$$\bar{\alpha}_s(Q^2 \gg \Lambda^2) \sim \frac{4\pi}{\beta_0 \ln \left( \frac{Q^2}{\Lambda^2} \right)} = \alpha_s^{pQCD}(Q^2)$$



## Modelo atual

- Pelo modelo a partons da QCD

$$\text{Re } \chi_{SH}(s, b) = \frac{1}{2} W_{SH}(b) \text{Re } \sigma_{QCD}(s)$$

- E a seção de choque da QCD

$$\text{Re } \sigma_{QCD}(s) = \sum_{ij} \frac{1}{1 + \delta_{ij}} \int_{2Q^2/s}^1 dx_1 \int_{2Q^2/x_1 s}^1 dx_2 \int_{Q_{min}^2}^{\hat{s}^{1/2}} d|\hat{t}| \frac{d\hat{\sigma}_{ij}}{d|\hat{t}|}(\hat{s}, \hat{t}) f_{i/A}(x_1, |\hat{t}|) f_{j/B}(x_2, |\hat{t}|)$$

onde com  $|\hat{t}| \equiv Q^2$  e  $i, j = q, \bar{q}, g$

- A função eiconal

$$\chi^+(s, b) = \chi_{soft}^+(s, b) + \chi_{SH}^+(s, b)$$

$$\chi^-(s, b) = \chi_{soft}^-(s, b) + \chi_{SH}^-(s, b) \simeq \chi_{soft}^-(s, b)$$

## Modelo atual

- ▶ A parte imaginária de  $\chi_{SH}(s, b)$  é obtida por meio de uma relação de dispersão integral, válida no limite  $s^2 \gg m^2$

$$\text{Im } \chi^+(s, b) = -\frac{2s}{\pi} \mathcal{P} \int_0^\infty ds' \frac{\text{Re } \chi^+(s', b)}{s'^2 - s^2}$$

- ▶ ...

$$\text{Im } \chi_{SH}(s, b) = \frac{1}{2} W_{SH}(b) \text{Im } \sigma_{QCD}(s)$$

onde

$$\begin{aligned} \text{Im } \sigma_{QCD}(s) &= -\frac{1}{\pi} \sum_{ij} \frac{1}{1 + \delta_{ij}} \int_0^1 dx_1 \int_0^1 dx_2 \int_{Q_{min}^2}^{\hat{s}/2} d|\hat{t}| \frac{d\hat{\sigma}_{ij}}{d|\hat{t}|}(\hat{s}, \hat{t}) \\ &\times f_{i/A}(x_1, |\hat{t}|) f_{j/B}(x_2, |\hat{t}|) \ln \left( \frac{\hat{s}/2 + |\hat{t}|}{\hat{s}/2 - |\hat{t}|} \right) \end{aligned}$$

## Modelo atual

- A eiconal suave

$$\chi_{\text{soft}}^+(s, b) = \frac{i}{2} W_{\text{soft}}^+(b) \left[ A' + iB' + C' \left( \frac{s}{s_0} \right)^{-\gamma} \right]$$

- A eiconal par

$$\begin{aligned} \chi^+(s, b) &= \chi_{\text{soft}}^+(s, b) + \chi_{\text{SH}}^+(s, b) \\ &= \frac{i}{2} \left[ W_{\text{soft}}^+(b) \sigma_{\text{soft}}(s) + W_{\text{SH}}(b) \sigma_{\text{QCD}}(s) \right] \end{aligned}$$

onde  $\sigma_{\text{QCD}}(s) = \text{Re} \sigma_{\text{QCD}}(s) + i \text{Im} \sigma_{\text{QCD}}(s)$  e  $\sigma_{\text{soft}}(s) = \text{Re} \sigma_{\text{soft}}(s) + i \text{Im} \sigma_{\text{soft}}(s)$

$$\text{Re} \sigma_{\text{soft}}(s) = A' + C' \left( \frac{s}{s_0} \right)^{-\gamma} \cos \left( \frac{\pi\gamma}{2} \right)$$

$$\text{Im} \sigma_{\text{soft}}(s) = B' + C' \left( \frac{s}{s_0} \right)^{-\gamma} \sin \left( \frac{\pi\gamma}{2} \right)$$

- A eiconal ímpar

$$\chi^-(s, b) = \frac{1}{2} W_{\text{soft}}^-(b) D' \frac{e^{i\pi/4}}{\sqrt{s/s_0}}$$

# Modelo atual

## Densidade de recobrimento

- ▶ Hipótese mais simples:  $W_{\text{soft}}(b) = W_{\text{SH}}(b)$
- ▶ Mais plausível: modelo em que quarks e glúons apresentem distribuições espaciais diferentes
- ▶  $W_{\text{soft}}^-(b)$  e  $W_{\text{soft}}^+(b)$  fatores de forma do tipo dipolo

$$G_A(k_\perp) = G_B(k_\perp) \equiv G_{\text{dip}}(k_\perp; \mu) = \left( \frac{\mu^2}{k_\perp^2 + \mu^2} \right)^2$$

assim

$$\begin{aligned} W_{\text{soft}}^+(b; \mu_{\text{soft}}^+) &= \frac{1}{2\pi} \int_0^\infty dk_\perp k_\perp J_0(k_\perp b) G_{\text{dip}}^2(k_\perp; \mu_{\text{soft}}^+) \\ &= \frac{(\mu_{\text{soft}}^+)^2}{96\pi} (\mu_{\text{soft}}^+ b)^3 K_3(\mu_{\text{soft}}^+ b) \end{aligned}$$

$$W_{\text{soft}}^-(b; \mu_{\text{soft}}^-) = \frac{(\mu_{\text{soft}}^-)^2}{96\pi} (\mu_{\text{soft}}^- b)^3 K_3(\mu_{\text{soft}}^- b)$$

# Modelo atual

## Densidade de recobrimento

- Supomos um aumento na distribuição radial média dos glúons devido ao crescimento em energia

$$G_{SH}^{(m)}(s, k_{\perp}; \nu_{SH}) = \frac{\nu_{SH}^2}{k_{\perp}^2 + \nu_{SH}^2}$$

$$G_{SH}^{(d)}(s, k_{\perp}; \nu_{SH}) = \left( \frac{\nu_{SH}^2}{k_{\perp}^2 + \nu_{SH}^2} \right)^2$$

onde  $\nu_{SH} = \nu_1 - \nu_2 \log(s/s_0)$

- Para o fator de forma do tipo monopolo

$$\begin{aligned} W_{SH}^{(m)}(s, b; \nu_{SH}) &= \frac{1}{2\pi} \int_0^{\infty} dk_{\perp} k_{\perp} J_0(k_{\perp} b) [G_{SH}^{(m)}(s, k_{\perp}; \nu_{SH})]^2 \\ &= \frac{\nu_{SH}^2}{4\pi} (\nu_{SH} b) K_1(\nu_{SH} b) \end{aligned}$$

- Para o fator de forma do tipo dipolo

$$W_{SH}^{(d)}(s, b; \nu_{SH}) = \frac{\nu_{SH}^2}{96\pi} (\nu_{SH} b)^3 K_3(\nu_{SH} b)$$

## Escala de massa infravermelha e a contribuição dos glúons

- ▶ A distribuição de glúons torna-se muito grande no limite em que  $x \rightarrow 0$
- ▶ Espalhamentos párton-pártion contendo pelo menos um glúon no estado inicial

$gg \rightarrow gg$  (espalhamento glúon-glúon)

$qg \rightarrow qg$  (espalhamento quark-glúon)

$\bar{q}g \rightarrow \bar{q}g$  (espalhamento quark-glúon)

$gg \rightarrow \bar{q}q$  (fusão de glúons em um par de quark)

- ▶ Processos glúon-glúon e quark-glúon são dominantes em altas energias, por exemplo para a seção de choque  $\text{Re } \sigma_{QCD}(s)$  é aproximadamente 98,84% (98,66%) para CTEQ6L (MSTW) para  $\sqrt{s} = 7 \text{ TeV}$
- ▶ A do processo  $gg \rightarrow \bar{q}q$  é pequena, mas foi considerada

# Escala de massa infravermelha e a contribuição dos glúons

- Seções de choque a partônicas para o cálculo de  $\sigma_{QCD}(s)$

$$\frac{d\hat{\sigma}}{d\hat{t}}(gg \rightarrow gg) = \frac{9\pi\bar{\alpha}_s^2}{2\hat{s}^2} \left( 3 - \frac{\hat{t}\hat{u}}{\hat{s}^2} - \frac{\hat{s}\hat{u}}{\hat{t}^2} - \frac{\hat{t}\hat{s}}{\hat{u}^2} \right)$$

$$\frac{d\hat{\sigma}}{d\hat{t}}(qg \rightarrow qg) = \frac{\pi\bar{\alpha}_s^2}{\hat{s}^2} (\hat{s}^2 + \hat{u}^2) \left( \frac{1}{\hat{t}^2} - \frac{4}{9\hat{s}\hat{u}} \right)$$

$$\frac{d\hat{\sigma}}{d\hat{t}}(gg \rightarrow \bar{q}q) = \frac{3\pi\bar{\alpha}_s^2}{8\hat{s}^2} (\hat{t}^2 + \hat{u}^2) \left( \frac{4}{9\hat{t}\hat{u}} - \frac{1}{\hat{s}^2} \right)$$

- Para processo glúon-glúon:  $\hat{s} + \hat{t} + \hat{u} = 4M_g^2(Q^2)$ ; para processos quark-glúon e fusão de glúons em pares de quark:  $\hat{s} + \hat{t} + \hat{u} = 2M_g^2(Q^2) + 2M_q^2(Q^2)$

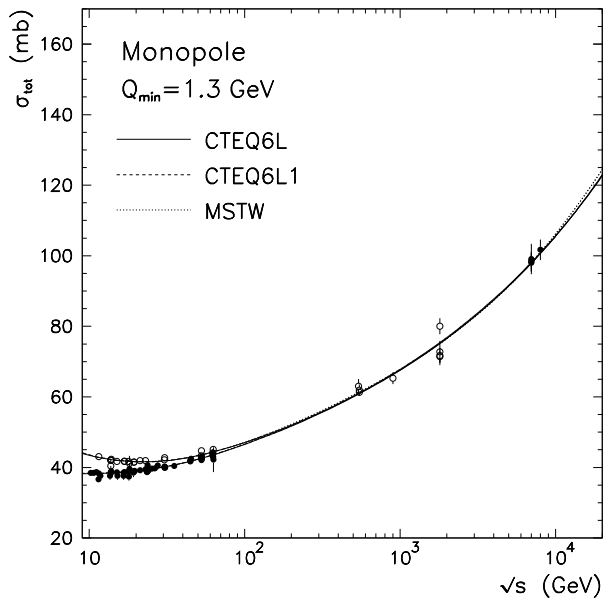
$$M_q^2(Q^2) = \frac{m_q^4}{Q^2 + m_q^2} \Rightarrow \text{decrece rapidamente com o aumento de } Q$$

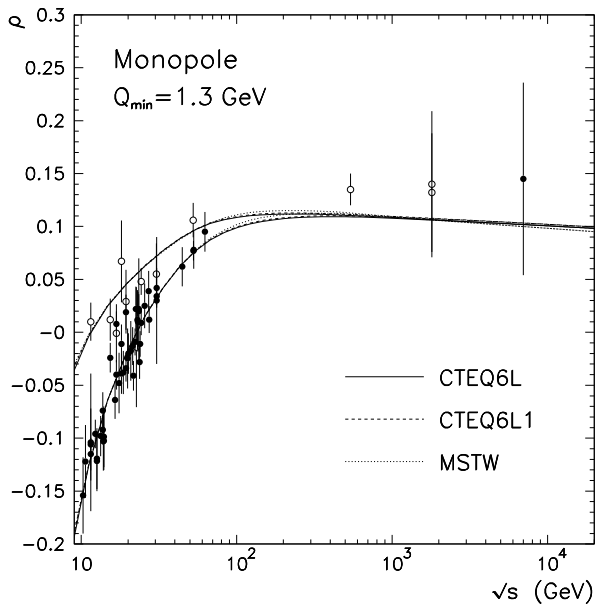
# Resultados

- Valores dos parâmetros do modelo obtidas do ajuste global aos dados dos espalhamentos  $pp$  e  $\bar{p}p$ . Resultados obtidos no caso de um fator de forma de monopolo no setor semiduro

$Q_{min} = 1.3 \text{ GeV}$	CTEQ6L	CTEQ6L1	MSTW
$\nu_1 \text{ [GeV]}$	$2.079 \pm 0.842$	$2.006 \pm 0.879$	$1.387 \pm 0.824$
$\nu_2 \text{ [GeV]}$	$(4.890 \pm 4.135) \times 10^{-2}$	$(4.467 \pm 3.817) \times 10^{-2}$	$(0.162 \pm 24.526) \times 10^{-2}$
$A' \text{ [GeV}^{-1}\text{]}$	$107.7 \pm 7.7$	$106.5 \pm 8.6$	$107.7 \pm 11.4$
$B' \text{ [GeV}^{-1}\text{]}$	$-5.33 \pm 1.90$	$-5.14 \pm 1.83$	$-4.98 \pm 1.86$
$C' \text{ [GeV}^{-1}\text{]}$	$727.6 \pm 602.2$	$624.8 \pm 547.5$	$556.3 \pm 498.2$
$\gamma$	$0.832 \pm 0.117$	$0.799 \pm 0.129$	$0.759 \pm 0.143$
$\mu_{soft}^+ \text{ [GeV]}$	$0.452 \pm 0.216$	$0.439 \pm 0.252$	$0.525 \pm 0.254$
$D' \text{ [GeV}^{-1}\text{]}$	$108.8 \pm 49.0$	$119.0 \pm 112.9$	$109.1 \pm 73.7$
$\mu_{soft}^- \text{ [GeV]}$	$0.216 \pm 0.324$	$0.176 \pm 0.286$	$0.430 \pm 2.786$
$\chi^2/g'$	1.084	1.080	1.062



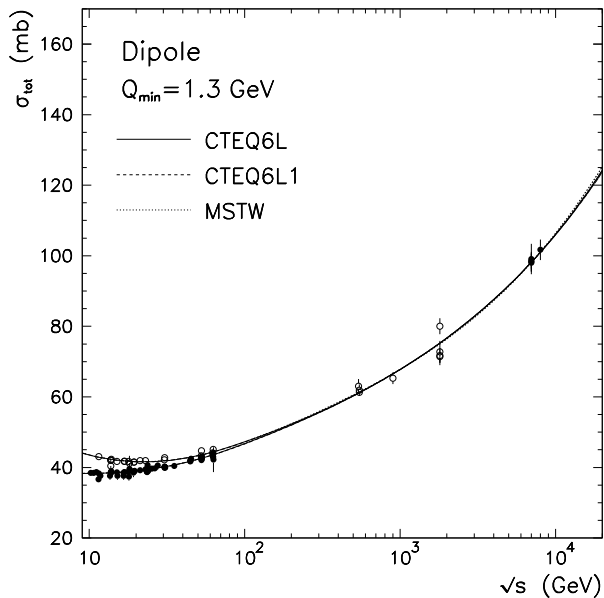


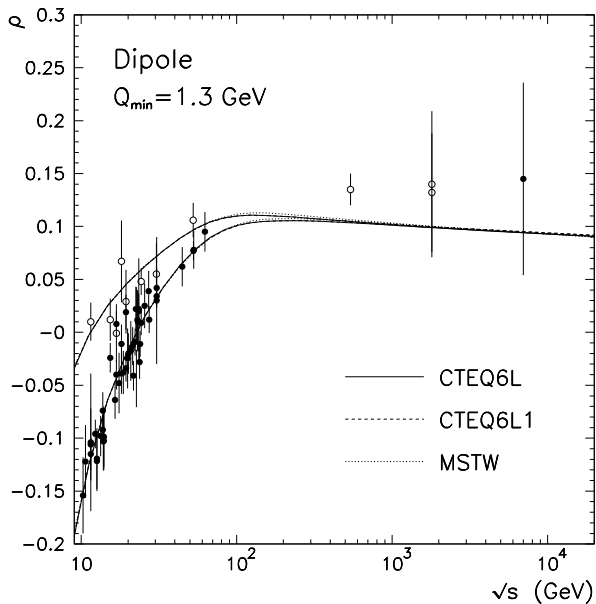


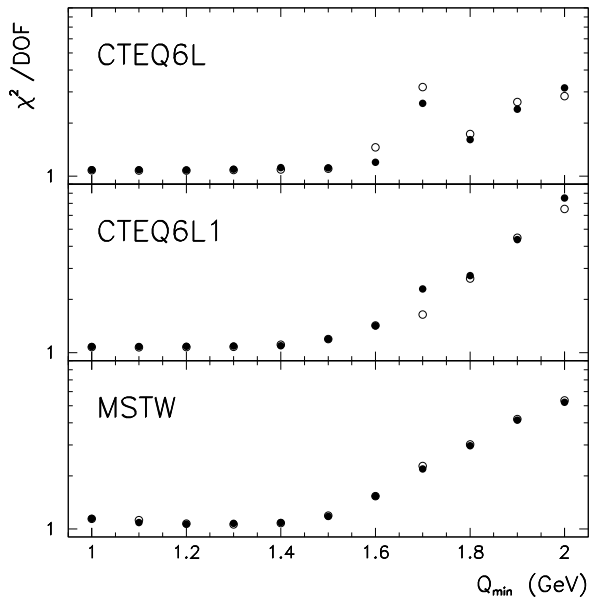
## Resultados

- Valores dos parâmetros do modelo obtidas do ajuste global aos dados dos espalhamentos  $pp$  e  $\bar{p}p$ . Resultados obtidos no caso de um fator de forma de dipolo no setor semiduro

$Q_{min} = 1.3 \text{ GeV}$	CTEQ6L	CTEQ6L1	MSTW
$\nu_1 \text{ [GeV]}$	$2.953 \pm 0.987$	$2.862 \pm 0.990$	$2.1947 \pm 0.48503$
$\nu_2 \text{ [GeV]}$	$(7.560 \pm 5.218) \times 10^{-2}$	$(7.037 \pm 5.286) \times 10^{-2}$	$(2.2591 \pm 2.7787) \times 10^{-2}$
$A' \text{ [GeV}^{-1}\text{]}$	$109.0 \pm 7.0$	$107.9 \pm 7.7$	$108.2 \pm 3.3$
$B' \text{ [GeV}^{-1}\text{]}$	$-5.42 \pm 1.96$	$-5.24 \pm 1.95$	$-5.12 \pm 1.76$
$C' \text{ [GeV}^{-1}\text{]}$	$773.3 \pm 603.8$	$669.0 \pm 560.9$	$581.9 \pm 331.6$
$\gamma$	$0.842 \pm 0.109$	$0.811 \pm 0.121$	$0.76417 \pm 0.079687$
$\mu_{soft}^+ \text{ [GeV]}$	$0.489 \pm 0.173$	$0.479 \pm 0.193$	$0.53665 \pm 0.07098$
$D' \text{ [GeV}^{-1}\text{]}$	$107.2 \pm 98.3$	$106.39 \pm 85.99$	$146.34 \pm 119.59$
$\mu_{soft}^- \text{ [GeV]}$	$0.416 \pm 3.867$	$0.394 \pm 3.862$	$0.13375 \pm 0.11705$
$\chi^2/g'$	1.095	1.090	1.075







# Resultados

- Previsões para as quantidades frontais  $\sigma_{tot}^{pp,\bar{p}p}$  e  $\rho^{pp,\bar{p}p}$  usando conjuntos diferentes de PDF's

	$\sqrt{s}$ [TeV]	$\sigma_{tot}$ [mb]		$\rho$	
		monopole	dipole	monopole	dipole
CTEQ6L	8.0	$100.7^{+8.6}_{-7.3}$	$101.0^{+8.6}_{-7.4}$	$0.101^{+0.009}_{-0.007}$	$0.094^{+0.008}_{-0.007}$
	13.0	$111.7^{+9.8}_{-8.4}$	$112.4^{+9.8}_{-8.5}$	$0.100^{+0.009}_{-0.008}$	$0.092^{+0.008}_{-0.007}$
	14.0	$113.5^{+9.9}_{-8.6}$	$114.3^{+10.0}_{-8.7}$	$0.099^{+0.009}_{-0.008}$	$0.092^{+0.008}_{-0.007}$
CTEQ6L1	8.0	$100.9^{+8.6}_{-7.4}$	$101.0^{+8.6}_{-7.4}$	$0.103^{+0.009}_{-0.007}$	$0.095^{+0.008}_{-0.007}$
	13.0	$111.7^{+9.8}_{-8.4}$	$112.2^{+9.8}_{-8.5}$	$0.101^{+0.009}_{-0.008}$	$0.093^{+0.008}_{-0.007}$
	14.0	$113.5^{+10.0}_{-8.6}$	$114.1^{+10.0}_{-8.6}$	$0.101^{+0.009}_{-0.008}$	$0.093^{+0.008}_{-0.007}$
MSTW	8.0	$101.0^{+8.6}_{-7.4}$	$101.1^{+8.6}_{-7.4}$	$0.102^{+0.009}_{-0.007}$	$0.096^{+0.008}_{-0.007}$
	13.0	$112.7^{+9.8}_{-8.5}$	$113.0^{+9.9}_{-8.5}$	$0.099^{+0.009}_{-0.007}$	$0.094^{+0.008}_{-0.007}$
	14.0	$114.6^{+10.1}_{-8.7}$	$115.0^{+10.1}_{-8.7}$	$0.099^{+0.009}_{-0.007}$	$0.093^{+0.008}_{-0.007}$

## Conclusões

- Desenvolvemos um novo modelo eiconal para o espalhamento de hádrons em altas energias
- Investigamos os espalhamentos elásticos  $pp$  e  $\bar{p}p$  nas energias típicas do LHC supondo que o crescimento da seção de choque total é devido exclusivamente às interações semiduras
- Investigamos o comportamento das amplitudes frontais para diferentes cortes  $Q_{min}$  e funções de distribuição partônicas, CTEQ6L, CTEQ6L1 e MSTW, e consideramos também as implicações fenomenológicas de uma classe de fatores de forma dependentes de energia
- Analisamos também a sensibilidade de  $\chi^2/gl$  em relação a  $Q_{min}$ , que restringe os processos párton-párton às interações semiduras
- Nossos resultados mostram que a boa reprodução das descrições de  $\sigma_{tot}^{pp,\bar{p}p}$  e  $\rho^{pp,\bar{p}p}$  são obtidas considerando cortes no intervalo aproximado de  $1.0 \leq Q_{min} \leq 1.5$  GeV



# Perspectivas

- Desenvolvimento do modelo utilizando relações de dispersão derivativas
- Por completeza, estudar a dependência em energia da eiconal suave
- Estudar novos tipos de fatores de forma
- Descrição da seção de choque diferencial